

Analysis of surface defect in RE : YAG (RE = Nd³⁺, Er³⁺, Yb³⁺) single crystal using chemical polishing and etching

Jang Bo Shim, Jin Ki Kang* and Young Kuk Lee†

Thin Film Materials Research Center, Korea Research Institute of Chemical Technology, Daejeon 34114, Korea
*NTS Ltd., Incheon 21635, Korea

(Received June 15, 2016)

(Revised July 11, 2016)

(Accepted July 22, 2016)

Abstract The conditions for chemical polishing and etching technique were investigated to reveal surface defects in RE : YAG (RE = Nd³⁺, Er³⁺, Yb³⁺) single crystals grown by Czochralski method. The optimal condition for chemical polishing was in 85 % H₃PO₄ solution at 330°C for 30 minutes with a specimen fixed in the vertical direction. In addition, the optimal condition for chemical etching was in 85 % H₃PO₄ solution at 260°C for 1 hour, and 70~80 μm sized triangular etch pits were observed on (111) face. As a result of defect density analysis, 1.9 × 10³/cm² for Nd(1 %) : YAG, 4.3 × 10²/cm² for Er(7.3 %) : YAG, and 5.1 × 10²/cm² for Yb(15 %) : YAG were measured.

Key words YAG, Chemical polishing, Chemical etching, Etch pit density

화학적 polishing 및 etching을 통한 RE : YAG (RE = Nd³⁺, Er³⁺, Yb³⁺) 단결정의 표면 결함 분석

심장보, 강진기*, 이영국†

한국화학연구원, 박막재료 연구센터, 대전, 34114

*(주)엔티에스, 인천, 21635

(2016년 6월 15일 접수)

(2016년 7월 11일 심사완료)

(2016년 7월 22일 게재확정)

요약 Czochralski 법으로 성장한 RE : YAG (RE = Nd³⁺, Er³⁺, Yb³⁺) 단결정의 표면 결함을 측정하는 chemical polishing 및 etching 조건에 대하여 조사하였다. 최적의 chemical polishing 조건은 시편을 수직 방향으로 고정하고 85 % H₃PO₄ 용액에서 330°C, 30분 동안 진행한 것이었다. 또한 최적의 chemical etching 조건은 85 % H₃PO₄ 용액에서 260°C, 1시간 동안 진행한 것이었고, (111) 면에 70~80 μm 크기의 삼각형 etch pit들이 관찰되었다. 결함 밀도 분석 결과, Nd(1 %) : YAG는 1.9 × 10³개/cm², Er(7.3 %) : YAG는 4.3 × 10²개/cm², Yb(15 %) : YAG는 5.1 × 10²개/cm²로 측정되었다.

1. 서론

호스트 물질로서 yttrium aluminum garnet(Y₃Al₅O₁₂, YAG)은 높은 열전도도, 우수한 물리, 화학적 특성을 가지고 있기 때문에 Nd³⁺, Er³⁺, Yb³⁺ 등의 희토류 원소를 치환하는 레이저 소자에 아주 적합하다. 3가의 희토류를 치환한 YAG는 활성 레이저 재료, 형광체, 신틸레이터와 같은 넓은 영역의 응용을 가진 중요한 광자 재료이다

[1, 2].

Doped YAG 결정들은 후가공 즉, core-drilling, cutting, polishing으로부터 표면 손상이 발생한다. 이러한 표면 손상은 고온에서 wet chemical etching으로 감소 혹은 제거될 수 있다고 알려져 왔다. 그러나 합리적인 etching 속도로 Nd : YAG 결정의 바깥쪽 layer를 제거하는 chemical etchant는 800°C 이상의 용융 상태의 KOH, 250°C의 농축 (> 40 %) HCl[3], 농축 H₃PO₄[4, 5] 및 H₃PO₄과 H₂SO₄의 혼합 용액[6]으로 그 수가 제한적이다. 200~250°C에서 실시하는 YAG 결정의 chemical etching은 바깥쪽 layer를 제거할 뿐만 아니라 결정에 형성된 전위 etch

†Corresponding author
E-mail: leeyoung@kriict.re.kr

pit을 우선적으로 식각하였다[7]. 그러나 지금까지 H_3PO_4 을 사용하여 chemical polishing 및 etching 조건에 대해 자세하게 연구한 보고는 없었다.

본 연구에서는 H_3PO_4 용액에서 온도와 시간에 따른 RE:YAG 단결정 표면의 chemical polishing과 etching 거동에 대하여 고찰하였고 RE:YAG 단결정의 결함 밀도(Etch pit density, EPD)에 대한 분석도 실시하였다.

2. 실험 방법

본 실험의 측정 시편은 Czochralski법으로 성장된 직경 2인치의 Nd(1%):YAG, Er(7.3%):YAG, Yb(15%):YAG 단결정이었고, 단결정의 body 부분을 결정 성장 방향인 <111>에 수직하게 두께 1.7 mm의 디스크 형태로 절단하여 양면을 lapping한 후 chemical polishing과 etching 을 실시하였다.

격자의 결함을 알아보기 위한 chemical polishing과 etching은 모두 85% H_3PO_4 용액을 사용했으며, chemical polishing은 온도를 330°C로 고정한 상태에서 시간을 20분, 30분, 40분으로 변화시켜가며 표면 상태를 확인하였다. 또한 시편이 bath 바닥에 수평 및 수직하게 위치한 영향에 대해서도 고찰하였다. Chemical etching은 시간을 20분으로 고정한 상태에서 온도를 220°C, 240°C, 260°C로 변화시킨 것과 온도를 260°C로 고정한 상태에서 시간을 20분, 1시간, 1시간 30분으로 변화시킨 것의

표면 상태 및 etch pit 형상을 확인하였다.

Chemical polishing 및 etching 후의 결정 표면 형상 및 EPD 측정은 Optical Microscopy(OM, Zeiss Imager Z1)로 실시하였고, 미세 형상은 Field Emission-Scanning Electron Microscopy(FE-SEM, Hitachi S-4700)로 분석하였다.

3. 결과 및 고찰

측정 시편의 lapping 면을 chemical etching한 후 표면 형상을 살펴보면, scratch 흔적이 많이 남아있고 scratch를 따라서 etch pit이 다수 존재하였다. 이 상태로는 정확한 EPD의 측정이 힘들고 잔존하는 scratch와 mechanically deformed layer를 없애기 위해서는 chemical polishing이 필요할 것으로 판단되었다.

S. Maekawa 등[7]의 330°C, 20분의 chemical polishing 조건을 참고로 chemical polishing의 온도는 330°C로 고정하고 시간만 변화한 시편 표면의 OM 이미지를 Fig. 1에 나타내었다. 330°C, 20분의 Fig. 1(a)는 wire saw로 절단한 흔적이 남아 있는 것으로 보아 chemical polishing 조건으로는 부족해 보였다. 330°C, 30분의 Fig. 1(b)는 wire saw로 절단한 흔적이 없어진 것으로 보아 chemical polishing 조건을 만족함을 알 수 있었고 dissolution rate는 약 4 $\mu\text{m}/\text{min}$ 측정되었다. 330°C, 40분의 Fig. 1(c)는 전체적으로 과용해되고 부분적으로 약 300 μm 의 홈이

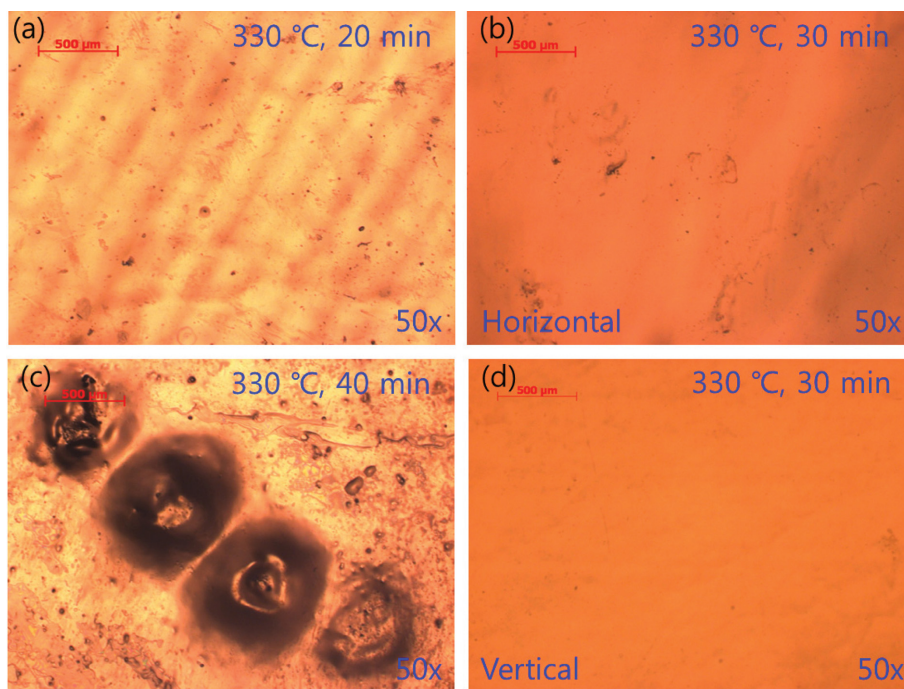


Fig. 1. OM images of Nd(1%):YAG single crystal polished in H_3PO_4 at 330°C for different times: (a) 20 min, (b) and (d) 30 min, and (c) 40 min. The specimen was fixed in the horizontal direction - (a), (b), and (c) and vertical direction - (d).

생성되었다. Fig. 1(d)는 330°C, 30분의 Fig. 1(b) 조건과 동일하게 하고, 시편을 bath 바닥에 수직으로 고정된 상태로 chemical polishing을 실시하였다. Fig. 1(b)의 수평 상태에서 chemical polishing을 실시한 것의 OM 이미지와 비교해 보면, 수직으로 고정한 시편이 더 깨끗함을 알 수 있다. 수평으로 놓은 시편은 좌, 우에 따라 약 150 μm의 두께 편차를 보였으나, 수직으로 고정한 시편은 동일한 두께를 나타내었다.

330°C, 30분, 수평 상태에서 chemical polishing을 한 후 260°C, 20분 동안 etching한 것의 Fig. 2(a)의 OM 이미지는 빛이 투과되어 사각형의 etch pit(90~100 μm)으로 보였다. Cubic 구조로 된 YAG 단결정의 (111) 면은 삼각형의 etch pit이 나타나게 된다[8, 9]. Fig. 2(a)의 시편을 FE-SEM으로 관찰한 Fig. 2(b)를 보면, 삼각형의 한쪽 꼭지점으로 etching이 더 진행된 것을 알 수 있었다. 이것을 Fig. 2(c)와 같이 etch pit이 정면으로 보이게 tilt해보면 내부에 약 40 μm 크기의 삼각형 etch pit이 확인되었다. 따라서 Fig. 2(a)와 같이 사각형의 etch pit이 나타나는 이유는 수평 상태에서 chemical polishing 시 330°C의 고온에서 H₃PO₄ 용액의 활발한 요동으로 인하여 시편이 균일하게 용해되지 못하고 한쪽 방향으로 용해가 더 진행되면서 tilt되어 나타나는 것으로 사료된다[10, 11]. 따라서 최적의 chemical polishing 조건은 시편을 수직 방향으로 고정하고 H₃PO₄ 용액에서 330°C, 30분 동안 진행한 조건으로 판단되었다.

최적의 chemical etching 온도 조건을 탐색하기 위해

330°C, 30분, 수직된 상태에서 chemical polishing을 한 후, 220°C, 240°C, 260°C에서 각각 20분씩 etching을 실시하였다. 220°C, 240°C 조건에서는 etch pit이 보이지 않았고, 260°C의 조건에서는 30~40 μm의 삼각형 etch pit이 관찰되었다.

최적의 chemical etching 시간 조건을 탐색하기 위해 온도는 260°C로 고정하고 20분, 1시간, 1시간 30분 동안으로 유지 시간을 변경하며 etching을 실시하였다. Fig. 3(a)의 20분 조건에서는 etching이 부족하며 30~40 μm의 삼각형 etch pit이 관찰되었다. Fig. 3(b)의 1시간 조건에서는 70~80 μm의 삼각형 etch pit이 관찰되었으며, Fig. 3(c)의 1시간 30분 조건에서는 과etching되어 약 150 μm의 삼각형 etch pit이 관찰되었다. 따라서 최적의 chemical etching 조건은 시편을 수직 방향으로 고정하고 H₃PO₄ 용액에서 260°C, 1시간 동안 진행한 것으로 판단되었다.

최적의 chemical etching 조건으로 etching한 Nd(1%):YAG, Er(7.3%):YAG, Yb(15%):YAG 단결정의 OM 이미지를 Fig. 4에 나타내었다. EPD 분석 결과, Fig. 4(a)의 Nd(1%):YAG는 1.9×10^3 개/cm², Fig. 3(b)의 Er(7.3%):YAG는 4.3×10^2 개/cm², Fig. 4(b)의 Yb(15%):YAG는 5.1×10^2 개/cm²로 측정되었다.

Nd(1%):YAG 결정의 경우는 Er(7.3%):YAG와 Yb(15%):YAG에 비하여 EPD 값이 높게 측정되었는데, 그 이유는 Y³⁺ 자리에 치환되는 RE³⁺ 원소의 이온반경 차이에 기인한 것으로 사료된다. 즉, Nd 이온의 이온

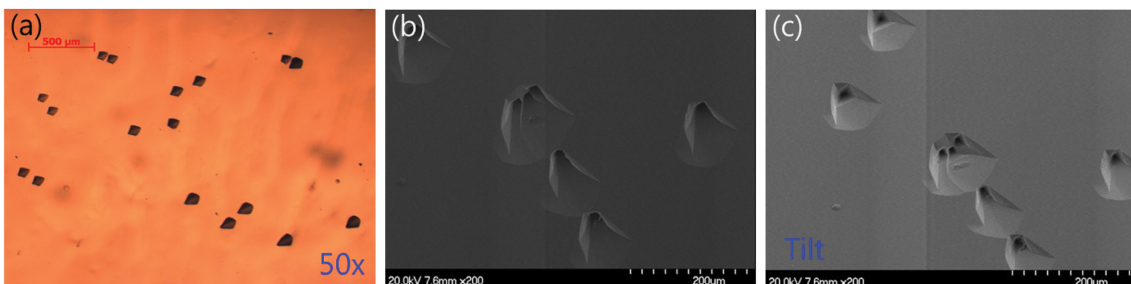


Fig. 2. Nd(1%):YAG single crystal etched in H₃PO₄ at 260°C for 20 min: (a) OM image, (b) FE-SEM image, and (c) tilted FE-SEM image.



Fig. 3. OM images of Er(7.3%):YAG single crystal etched in H₃PO₄ at 260°C for different times: (a) 20 min, (b) 1 hr, and (c) 1 hr 30 min.

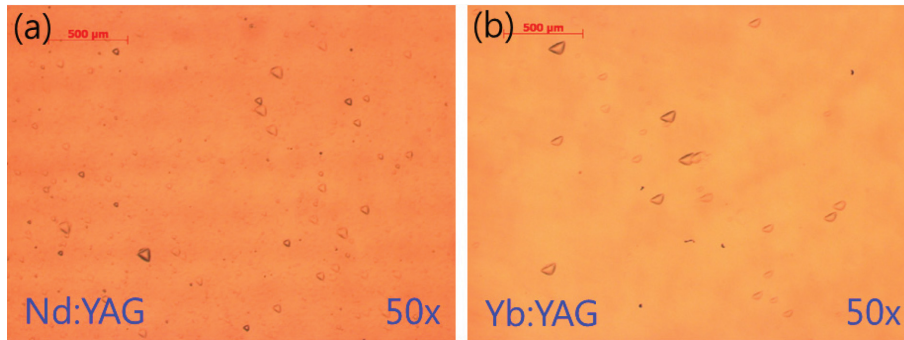


Fig. 4. OM images etched in H_3PO_4 at $260^\circ C$ for 1 hr: (a) Nd(1 %): YAG and (b) Yb(15 %): YAG.

반경(Nd^{3+}_{VIII})은 1.109 \AA 으로 Y 이온의 이온반경($Y^{3+}_{VIII} = 1.019 \text{ \AA}$)보다 크고, Er 이온의 이온반경($Er^{3+}_{VIII} = 1.004 \text{ \AA}$)과 Yb 이온의 이온반경($Yb^{3+}_{VIII} = 0.985 \text{ \AA}$)은 Y 이온의 이온반경과 서로 비슷하다[12].

4. 결 론

Czochralski법으로 성장한 RE:YAG(RE = Nd^{3+} , Er^{3+} , Yb^{3+}) 단결정의 표면 결함을 측정하기 위해 chemical polishing 및 etching을 실시하였다. Chemical polishing의 최적 조건은 시편을 bath 바닥에 수직으로 고정하고, $330^\circ C$ 의 85 % H_3PO_4 용액에서 30분 동안 진행한 것으로서 일반적인 mechanical polishing과 유사한 표면 품질을 얻었다. 또한 chemical etching의 최적 조건은 $260^\circ C$ 의 85 % H_3PO_4 용액에서, 1시간 동안 진행한 것이었고, (111) 면에 70~80 μm 크기의 삼각형 etch pit이 관찰되었다. RE:YAG의 EPD분석 결과, Nd(1 %):YAG는 1.9×10^3 개/ cm^2 , Er(7.3 %):YAG는 4.3×10^2 개/ cm^2 , Yb(15 %):YAG는 5.1×10^2 개/ cm^2 로 측정되었다.

감사의 글

본 연구는 산업통상자원부 전략적 핵심소재 기술개발 사업(과제번호: 10047571)과 KRICT Research Project (SI1603-02)의 지원으로 이루어졌으며 이에 감사드립니다.

References

[1] A.A. Kaminski, "Laser crystals", Springer, New York

- (1981).
- [2] M.A. Dubinskii, K.L. Schepler, V.V. Semashko, R.Yu. Abdulsabirov, S.L. Korableva and A.K. Naumov, "Spectroscopic analogy approach in selective search for new Ce^{3+} -activated all-solid-state tunable ultraviolet laser materials", J. Mod. Opt. 45 (1998) 221.
- [3] Y. Shimony, Y. Kalisky, H. Lotem, Z. Goldbart and J. Kagan, "Growth and characterization of (Ho,Tm,Er):YAG crystals for 2.09 μm laser", J. Appl. Phys. 68 (1990) 2966.
- [4] C. Belouet, "About crystalline perfection of Nd-doped YAG single crystals", J. Crystal Growth 15 (1972) 188.
- [5] M. Gerber and Th. Graf, "Optimum parameters to etch Nd:YAG crystals with orthophosphoric acid H_3PO_4 ", Optics & Laser Technology 33 (2001) 449.
- [6] K.E. Shafer, D.E. Eakins, D.F. Bahr, M.G. Norton and K.G. Lynn, "Strength enhancement of single crystal laser components", J. Mater. Res. 18 (2003) 2537.
- [7] S. Maekawa, T. Tohyama and I. Morita, "Etch pits at dislocations in yttrium aluminum garnet", J. Crystal Growth 18 (1973) 99.
- [8] M. Świrkowski, M. Skórczakowski, J. Jabczyński, A. Bajor, E. Tymicki, B. Kaczmarek and T. Łukasiewicz, "Investigation of structural, optical and lasing properties of YAG:Yb single crystals", Opto-Electronics Review 13 (2005) 213.
- [9] S. Kostic, Z.Ž. Lazarevic, V. Radojevic, A. Milutinovic, M. Romcevic, N.Ž. Romcevic and A. Valcic, "Study of structural and optical properties of YAG and Nd:YAG single crystals", Materials Research Bulletin 63 (2015) 80.
- [10] Y. Peizhi, D. Peizhen, Y. Zhiwen and T. Yulian, "The growth defects in Czochralski-grown Yb:YAG crystal", J. Crystal Growth 218 (2000) 87.
- [11] L. Burgess, F.J. Kumar and J. Mackenzie, "Orientation dependence of etch pit density in (111) and (211) CdZnTe everson etch", J. Electron. Mater. 44 (2015) 3277.
- [12] R.D. Shannon, "Revised effective ionic radii and systematic studies of interatomic distances in halides and chalcogenides", Acta Cryst. A32 (1976) 751.